

# 项目作业 平衡车控制

Author: 章翰宇  
ID: 3220104133

## Abstract

平衡车在日常生活中很常见，它脱胎于倒立摆的控制问题。本项目以平衡车为对象，将倒立摆问题深化，从一维导轨拓展到二维平面上的运动，从单一变量摆角的控制，拓展到三个变量的控制。项目中，使用模糊控制以及神经网络PID控制方法，设计出一种拥有比普通PID更平滑控制效果，且能在模型参数大幅度变化后仍然成功控制的方案。最终方案为：用两个模糊控制器与一个神经网络PID控制器，取代所有的普通PID控制器，达到更优的效果。

**Keywords:** 智能控制，平衡车，神经网络控制，模糊控制

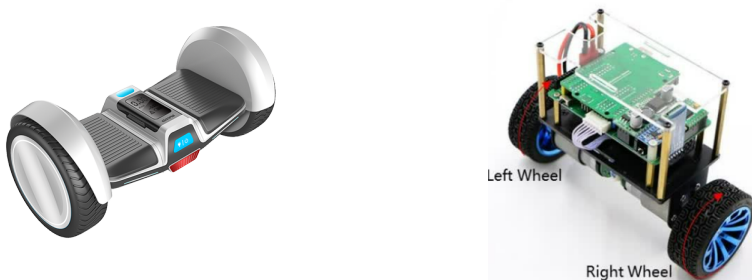


Table 1: 现实中的平衡小车，往往采用普通的PID控制策略

## 与“车载倒立摆”的区别

之前的车载倒立摆系统，考虑的固定在导轨上的小车（SISO），在本例中，没有导轨，有两个轮子（甚至可以转弯），两个轮子的转速不同将造成偏航角的变化，偏航角也将纳入被控变量考虑。之前，输入系统的控制信号是水平力 $F$ ，此处，输入信号是两个电机各自的加速度，和实际开发平衡车产品中的控制问题条件一致。

之前倒立摆作业没有控制住位移，仅仅控制了摆角，此处我们的目标是控制在二维平面上运动并且稳定下来，因此本质是 $x$ 的跟踪问题，但是依赖于摆角的变化，需要协调两者之间的关系。

因此，此处的力学分析要更加复杂全面一些，由于是二维运动，是MIMO问题，操控变量有两个，被控变量有3个（位移、倾角、航向）。

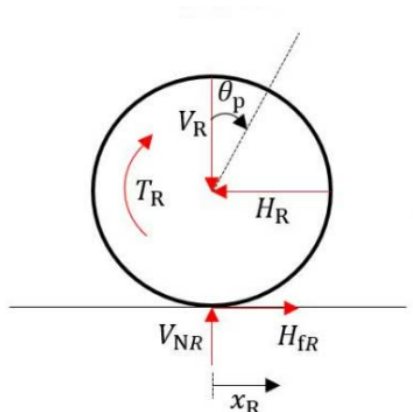
## 模型建立

### 符号说明

Symbol	Explanation
$m$	单个车轮的质量
$M$	车体的质量
$x$	两个轮子中心点的坐标
$d$	两个轮子之间的距离

$J_p$	车体绕质心俯仰转动的转动惯量
$J_\delta$	车体绕质心偏航转动的转动惯量
$I$	一个轮子绕其轴转动的转动惯量
$\delta$	整体的偏航角
$\theta_p$	车体的俯仰角（前倾程度）
$l$	车体的质心到轮轴的距离
$x_L, x_R$	左，右轮子的水平方向位移
$H_L, H_R$	车体与左，右轮子之间的水平作用力大小
$V_L, V_R$	车体与左，右轮子之间的竖直作用力大小
$H_{fL}, H_{fR}$	左，右车轮与地面之间的摩擦力大小
$T_L, T_R$	左，右轮子处电机施加的矩大小

### 轮子受力分析



分析两个轮子的受力如上图，分别有合力公式与合力矩公式：

$$\begin{cases} \ddot{x}_R m = H_{fR} - H_R \\ \ddot{\theta} I = T_R - H_{fR} r \end{cases}$$

由于 $H_{fR}$ 是地面给的摩擦力，是隐变量的地位，因此消去之：

$$\ddot{x}_R m = \frac{T_R - \ddot{\theta} I}{r} - H_R$$

根据无滑滚动约束条件， $\dot{x}_R = r\dot{\theta}$ ，因此将 $\theta$ 消去，上式成为：

$$\ddot{x}_R \left( m + \frac{I}{r^2} \right) = \frac{T_R}{r} - H_R$$

同理：

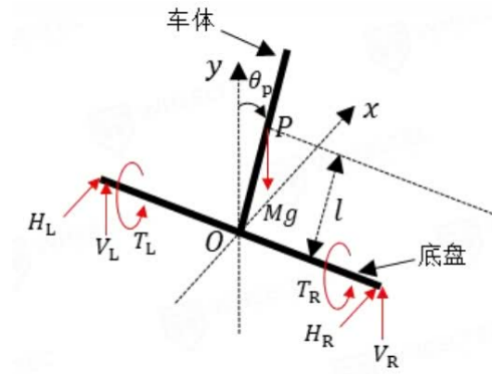
$$\ddot{x}_L \left( m + \frac{I}{r^2} \right) = \frac{T_L}{r} - H_L$$

由于  $x = \frac{x_R + x_L}{2}$ , 因此:

$$\ddot{x} \left( m + \frac{I}{r^2} \right) = \frac{T_R + T_L}{2r} - \frac{H_L + H_R}{2} \quad (1)$$

$$(\ddot{x}_L - \ddot{x}_R) \left( m + \frac{I}{r^2} \right) = \frac{T_L - T_R}{r} - (H_L - H_R) \quad (2)$$

### 车体受力分析



$$\begin{cases} M \frac{d^2(x + l \sin \theta_p)}{dt^2} = H_L + H_R \\ M \frac{d^2(l \cos \theta_p)}{dt^2} = V_L + V_R - Mg \\ J_p \ddot{\theta}_p = (V_L + V_R)l \sin \theta_p - (T_R + T_L) - (H_R + H_L)l \cos \theta_p \end{cases}$$

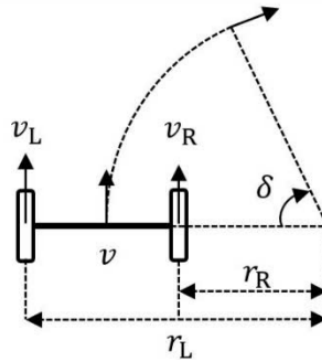
因此, 结合轮子的受力分析消除内力  $(H_L + H_R)$  以及  $(V_L + V_R)$  部分, 就能得到式子:

$$\begin{cases} (M + 2m + \frac{2I}{r^2}) \ddot{x} - \frac{T_R + T_L}{r} + Ml \ddot{\theta}_p \cos \theta_p - Ml \dot{\theta}_p^2 \sin \theta_p = 0 \\ \left( \frac{J_p}{Ml} + l \right) \ddot{\theta}_p + \ddot{x} \cos \theta_p - g \sin \theta_p + \frac{T_L + T_R}{Ml} = 0 \end{cases} \quad (3)$$

### 偏航转向分析

回顾  $d$  代表两个轮子之间的距离, 因此:

$$J_\delta \ddot{\delta} = \frac{d}{2} (H_L - H_R)$$



由示意图的几何关系可得:

$$\dot{\delta} = \frac{\dot{x}_L - \dot{x}_R}{d}$$

把这个代入上式，并且结合 Equation 2，得到 $\delta$ 演化的动力学方程：

$$\ddot{\delta} = \frac{1}{r\left(md + \frac{Id}{r^2} + \frac{2J_{\delta}}{d}\right)}(T_L - T_R) \quad (4)$$

### Simulink 建模

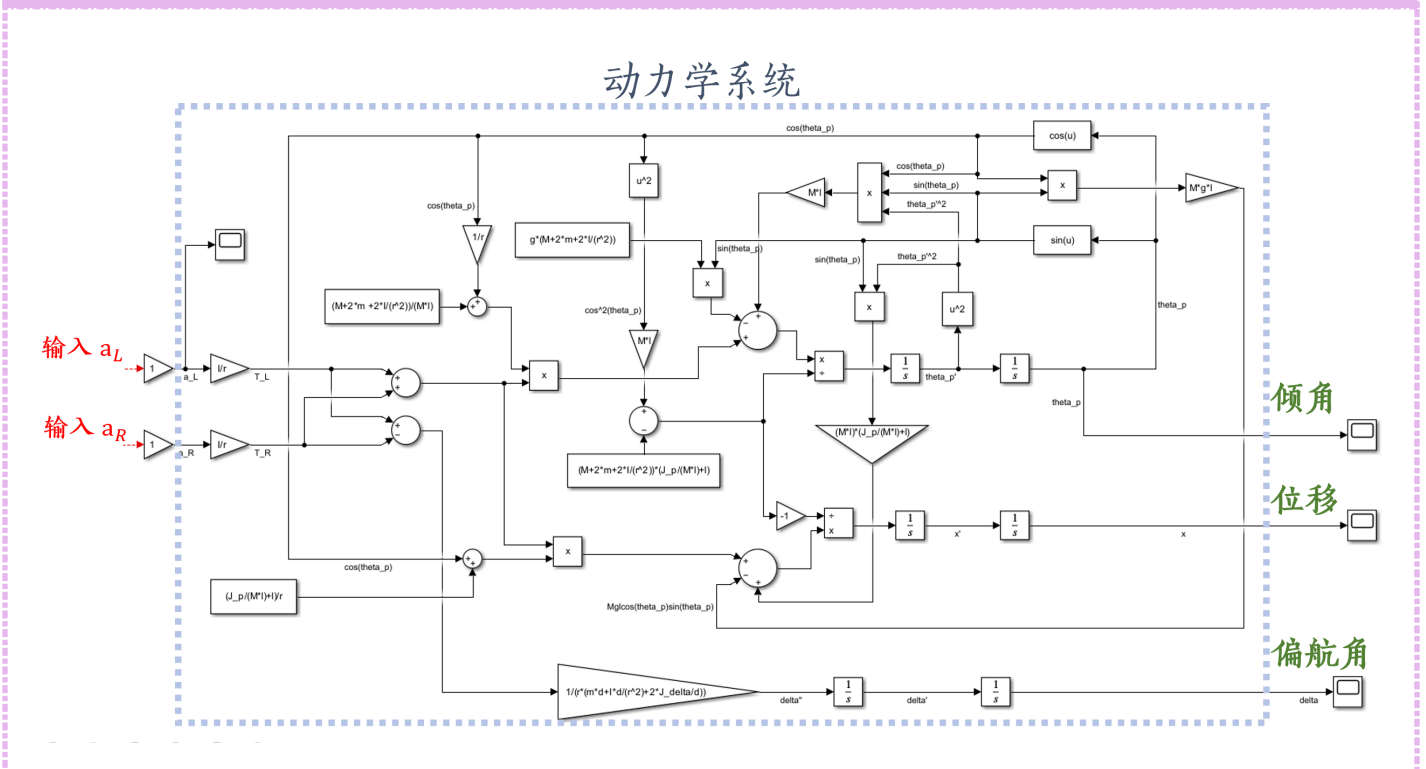
将 Equation 3 整理成为容易建模的形式如下（Equation 4 就不需要变了）：

$$\left[ Ml \cos^2 \theta_p - \left( M + 2m + \frac{2I}{r^2} \right) \left( \frac{J_p}{Ml} + l \right) \right] \ddot{\theta}_p = Ml \sin \theta_p \cos \theta_p \dot{\theta}_p^2 - g \sin \theta_p \left( M + 2m + \frac{2I}{r^2} \right) + \left[ \frac{\cos \theta_p}{r} + \frac{\left( M + 2m + \frac{2I}{r^2} \right)}{Ml} \right] (T_R + T_L) \quad (5)$$

$$\left[ \left( \frac{J_p}{Ml} + l \right) \left( M + 2m + \frac{2I}{r^2} \right) - Ml \cos^2 \theta_p \right] \ddot{x} = Ml \sin \theta_p \left( \frac{J_p}{Ml} + l \right) \dot{\theta}_p^2 - Mgl \cos \theta_p \sin \theta_p + \left[ \cos \theta_p + \frac{\left( \frac{J_p}{Ml} + l \right)}{r} \right] (T_R + T_L) \quad (6)$$

在绘制 Simulink 框图时，最后 $T_R$ 与 $T_L$ 这两者由于代表电机输出转矩的大小，不好直接控制，因此转化为两个车轮在无摩擦情况下的加速度： $a_L = \frac{r}{I} T_L$ ， $a_R = \frac{r}{I} T_R$ 。

### Simulink



上图为建立的动力学系统框图，体现了整个模型的结构，整个开环对象，可以看到，是2输入3输出的。从物理含义上来看，“位移 $x$ ”代表了一维的运动，“倾角 $\theta_p$ ”代表了平衡车的姿势，“偏航角 $\delta$ ”代表了二维平面上的转向。

## 普通控制器设计

### 思路概述

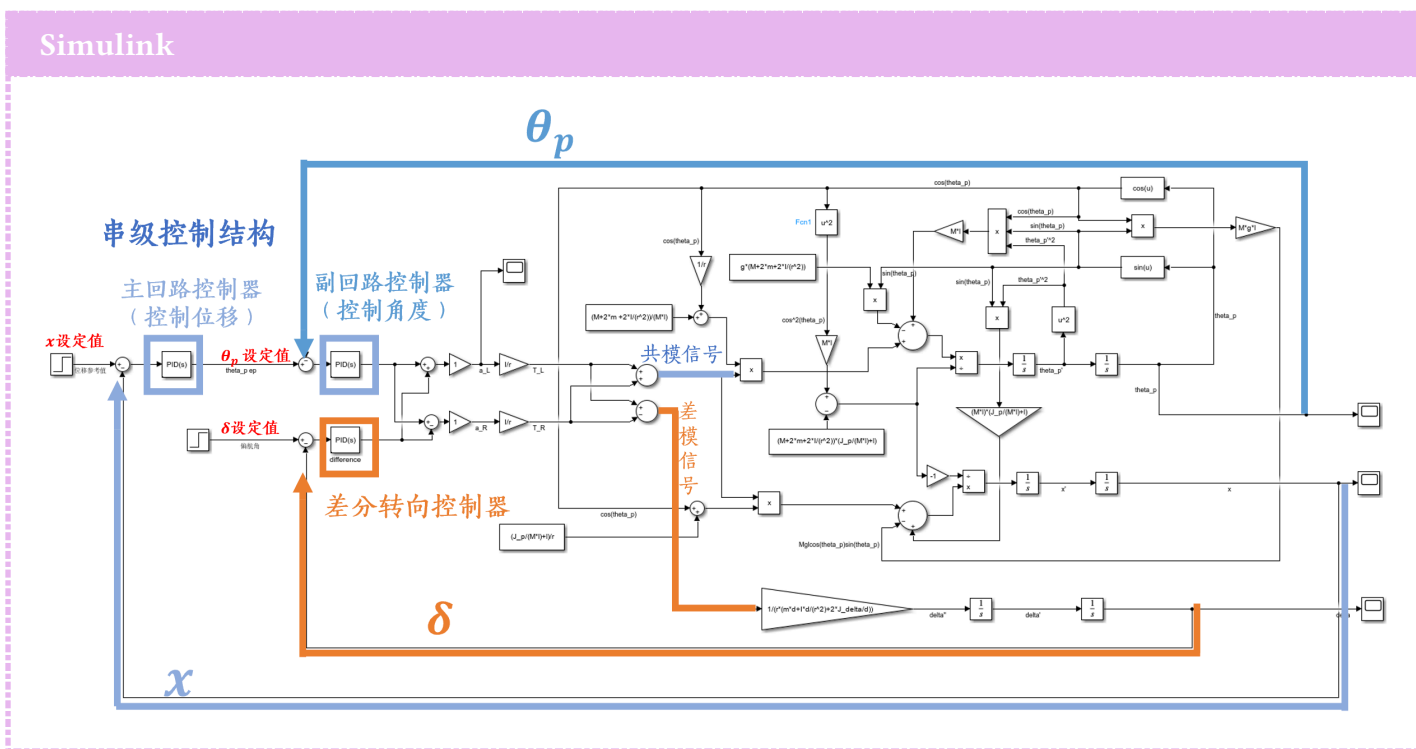
我的想法是先实现普通的PID控制，在成功后，使用更高级的模糊控制以及神经网络控制提升控制效果，逐步迭代。

由于系统有三个输出，在实现简单的PID控制时，要考虑对象的工艺特性，即三个变量之间的逻辑关系。根据框图看出，可把两个输入视作其共模信号及差模信号。航向角 $\delta$ 的变化是双轮差动的结果，因此 $\delta$ 仅受到差模信号影响，共模信号对转向的贡献为0；同理，倾角与位移仅仅受到共模信号的影响，差模信号不会对倾角和位移产生作用。因此，可以很方便地解耦：把 $\delta$ 单独拎出去控制，操纵变量就是差模信号（用一个单回路控制它即可）；倾角和位移则统一用共模信号控制。

不难发现，位移和倾角都是由同一个操纵变量控制的！（2输入3输出问题本身就蕴含“至少有两个变量是被同一个操纵变量控制”这一点）因此，不可能使用两个单回路控制成功。分析对象特性即知，倾角不为0时，车体是歪斜的， $x$ 也不可能稳定下来，因此两者的控制含有隐藏的逻辑：需先控制 $\theta_p$ ，再稳住 $x$ ； $x$ 是时间常数大的主变量，而 $\theta_p$ 是响应速度快的副变量。可以借鉴串级控制思想。

注：可能会觉得这不是典型的串级控制。主副变量一个是 $x$ ，一个是 $\theta_p$ ，光看Simulink框图可能难以看出其主/副层次关系。但是观察原微分方程，可以这样想： $\theta_p$ 的变化确定后， $x$ 的各阶导数被相应的解出来。因此，为了简洁，下文中使用串级控制的概念解释。

至此，整个控制框架已经搭建，参见下图：



接着具体分析三个控制器的特色：

1. 由于小车稳定下来以后，倾角一定是0，因此不管怎么样，控制倾角的控制器，都是一个PD控制器（不应该含有积分作用），故主回路控制器是PD控制器。
2. 由于差模信号非零时，一定会发生转向，因此到达稳态工作点时，差模信号必然为0，故，差分转向控制器也不用含积分项，同为PD控制器。

### 普通PID实现控制

（在文件 balance\_car.slx 中）调整参数（Simulink 中的[P,I,D]值）：

- 主回路控制器=[0.01,0,0.2]
- 副回路控制器=[-280,-200,-120]
- 差分转向控制器=[1,0,0.8]

在三个被控变量 $\delta, \ddot{x}, \ddot{\theta}_p$ 的处叠加上白噪音（作为理想模型之外的干扰），得到对比效果如下：

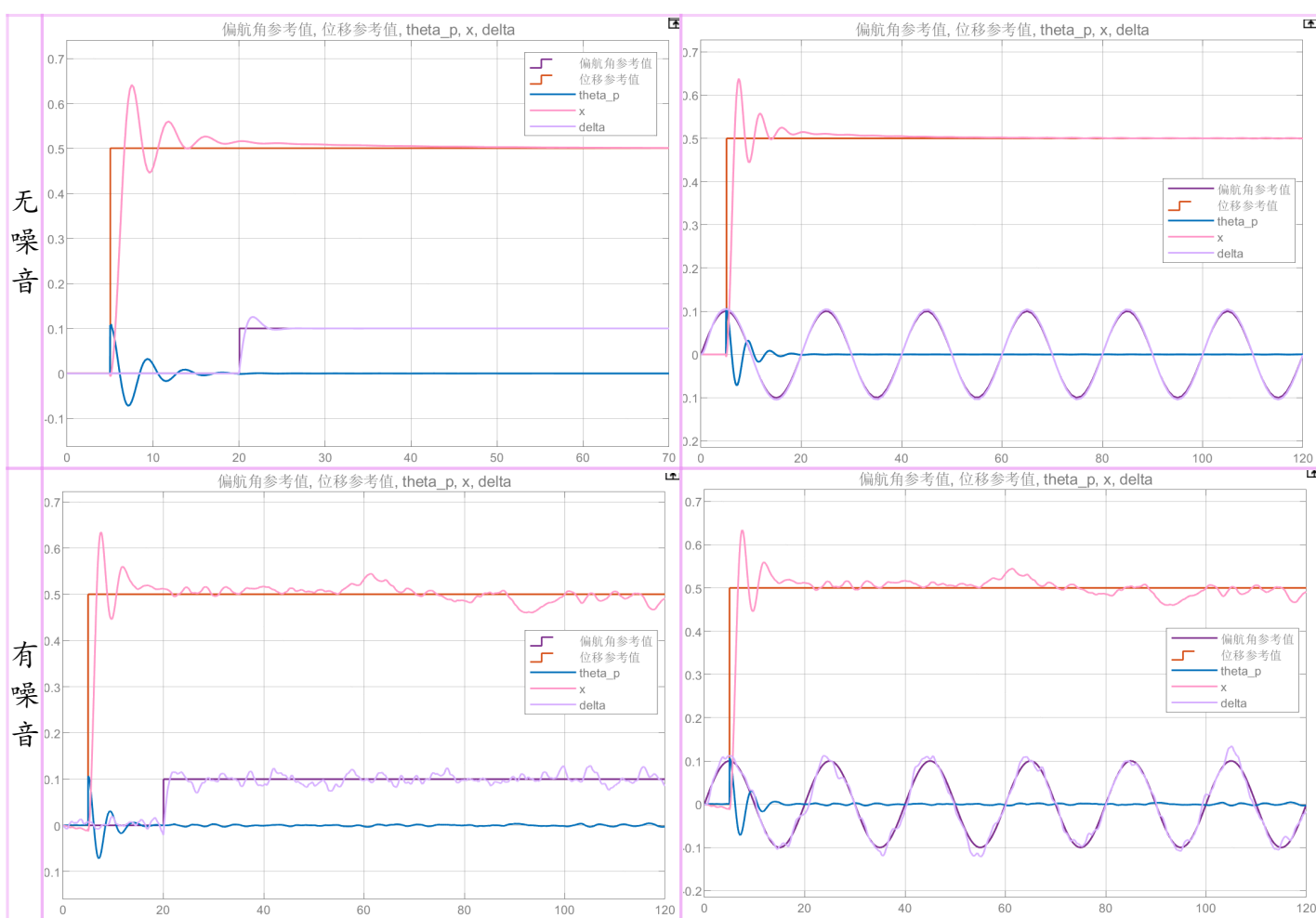


Table 2: PID 控制效果，Baseline

### 加入模糊控制

由于模糊控制器本身相当于PD控制器，因此可以将回路中的两个PD控制器（主回路、差分转向控制器）都用模糊控制器取代，实现更加平滑的控制效果。

FIS 使用 Mamdani 类型，下面展示本次实验使用的模糊控制器：

### Fuzzification

模糊控制器的首个输入定义为位移误差偏移量 $e$ （即与目标稳态点差值），第二个输入为 $\dot{e}$ ，现在，将位移偏差，和速度偏差的论域按照如下定义，设计两者的各自的一组隶属度函数：

### 位移偏移

主回路控制器中 $e$ 的论域为 $[-0.8, 0.8]$ ，取 5 个分类，中间用三角形函数，左右用 z 形和 s 形函数：

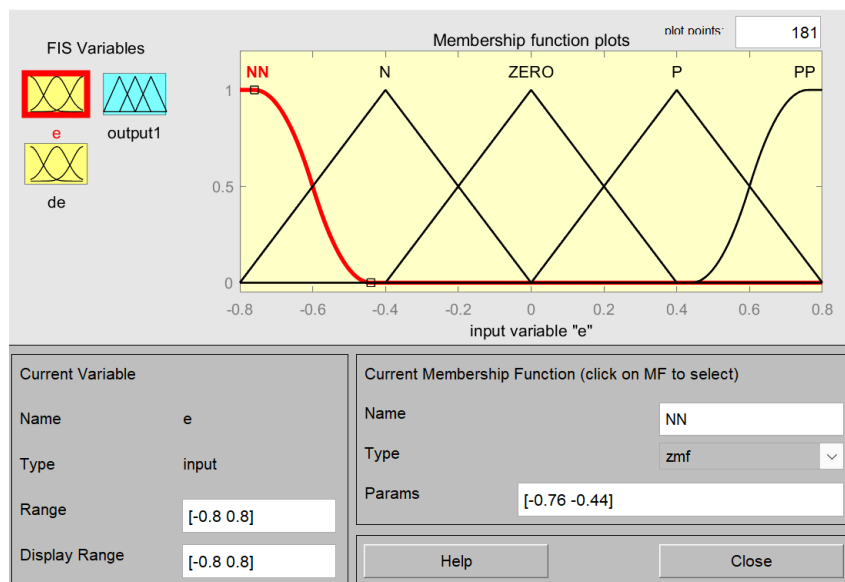


Figure 4:  $\Delta x$ 的模糊规则

差分转向控制器中 $e$ 的论域为 $[-0.3, 0.3]$ ，其余同。

### 误差导数

其论域为 $[-0.5, 0.5]$ ，中间用三角形函数，左右用 z 形和 s 形函数：

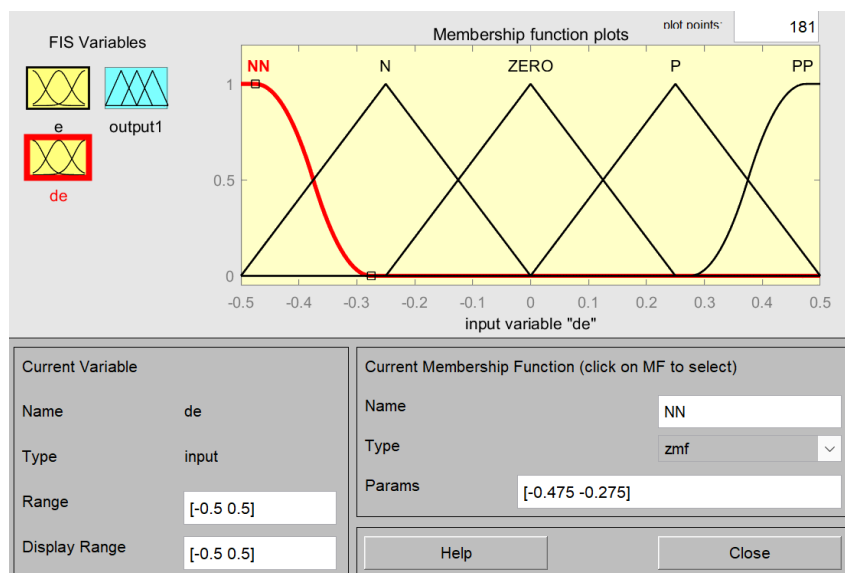


Figure 5:  $\Delta x$ 的模糊规则

差分转向控制器中 $\dot{e}$ 的论域为 $[-0.3, 0.3]$ ，其余同。

### 操作变量



输出的 $\theta_p$ 角度设定值的论域为 $[-0.2, 0.2]$ ，取了7个分类，也均在中间用三角形函数，左右用z形和s形函数

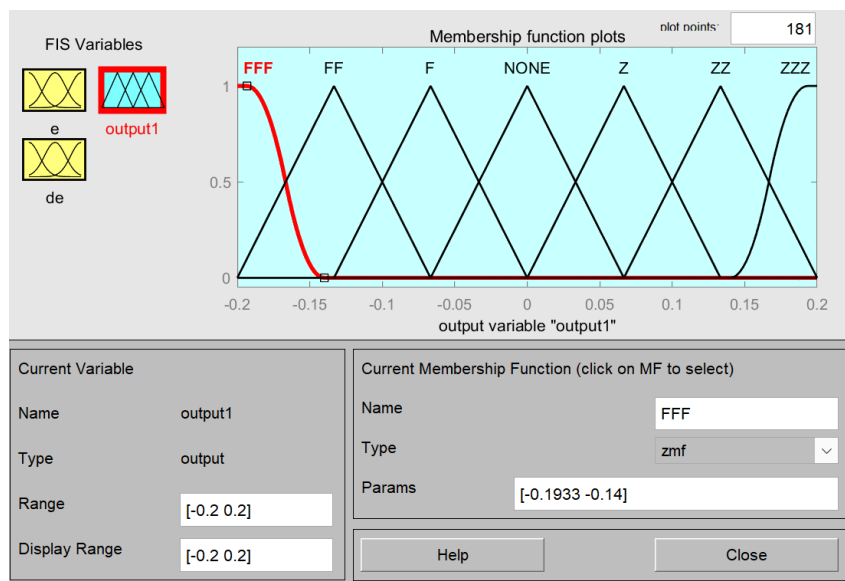


Figure 6:  $U$ 的模糊规则

差分转向控制器中输出（ $\theta_p$ 设定值）的论域为 $[-0.2 \ 0.2]$ ，其余同。

### Inference

在我的两个控制器的模糊推断操作中，使用隶属度函数的max来作为 OR（或）操作，用min来作为 AND（和）操作，如下图所示：

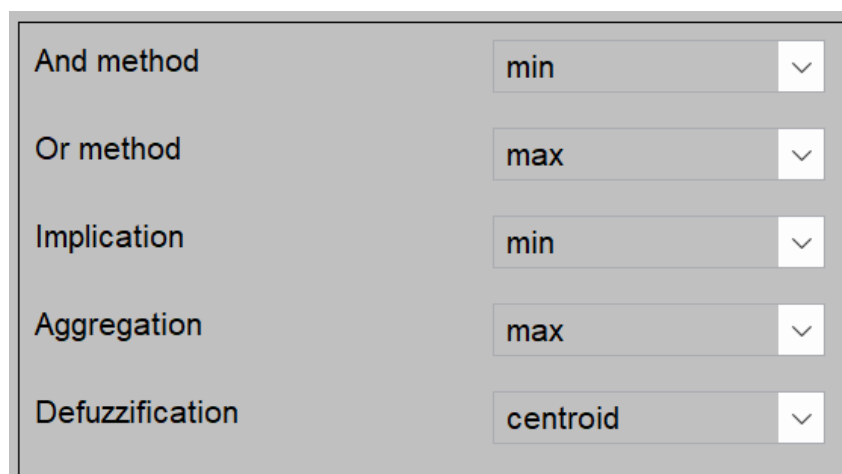


Figure 7: 模糊逻辑 推断规则

### Defuzzification

两个控制器均使用 centroid 方法（见上图），即解模糊化的方法是计算两个区域的面积再取重心的横坐标（参见后文效果图）

### Rules

两个控制器均采用下面的模糊规则。该控制规则的设计思路仍是：“远则快速接近，近则微调”。以主回路控制器为例说明：对于位移和速度均有负偏差时（说明小车不仅位置正向超前，而且速度也



是正向太快了), 需要输出较大的负向角度, 对于位移正向超前但速度为负向时, 说明已经在返回的路上了, 因此只用少量的负向角度, 甚至偏正的角度, 赶紧慢下来刹车就行。对于正反互换的情况完全同理, 因此整张表呈现出中心对称的特点。

		$e$				
$\dot{e}$		NN	N	ZERO	P	PP
	NN	FFF	FFF	FF	F	NONE
	N	FFF	FF	F	NONE	Z
	ZERO	FF	F	NONE	Z	ZZ
	P	F	NONE	Z	ZZ	ZZZ
	PP	NONE	Z	ZZ	ZZZ	ZZZ

## Visualization

这是 centroid 解模糊化规则的可视化 (以主回路控制器为例, 转向控制器同):

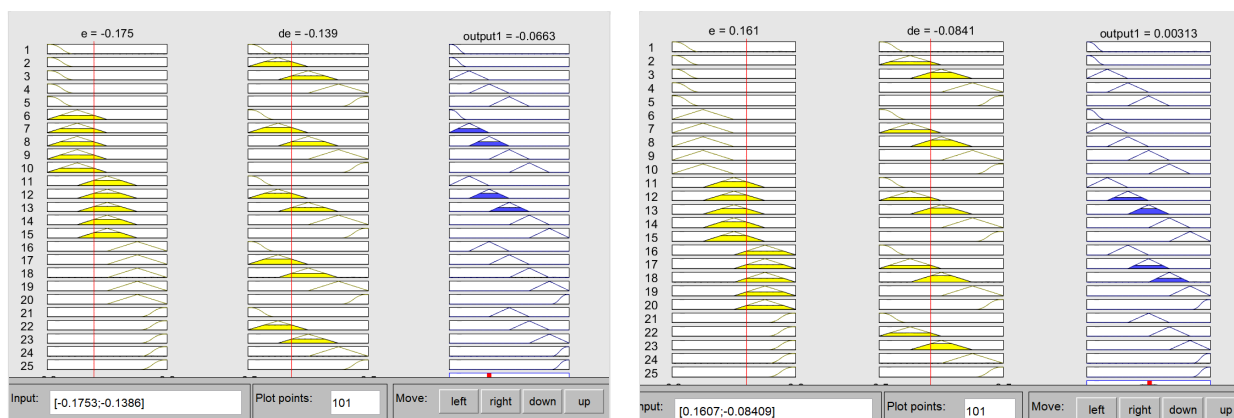


Table 3: 模糊规则的可视化

以下是通过控制曲面的方法可视化模糊控制器 (以主回路控制器为例, 转向控制器同):

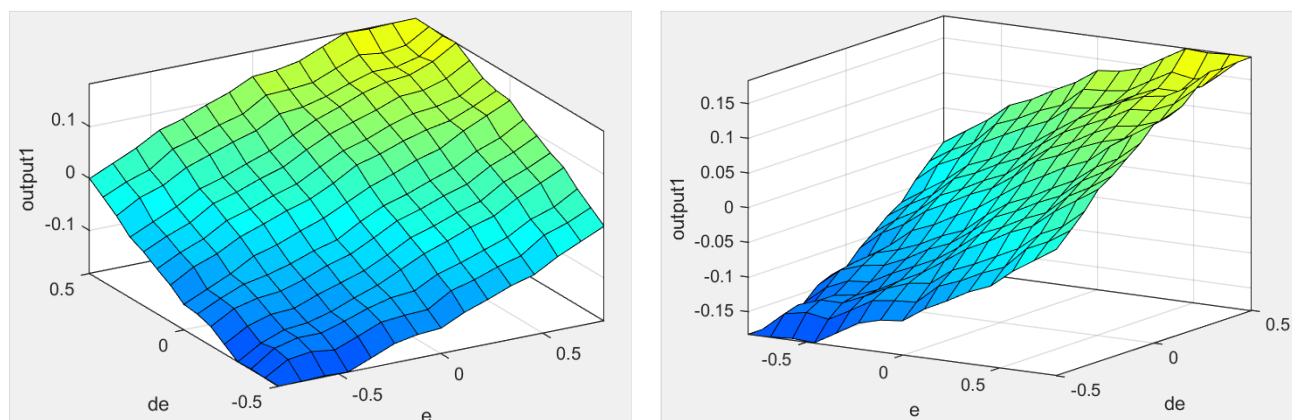
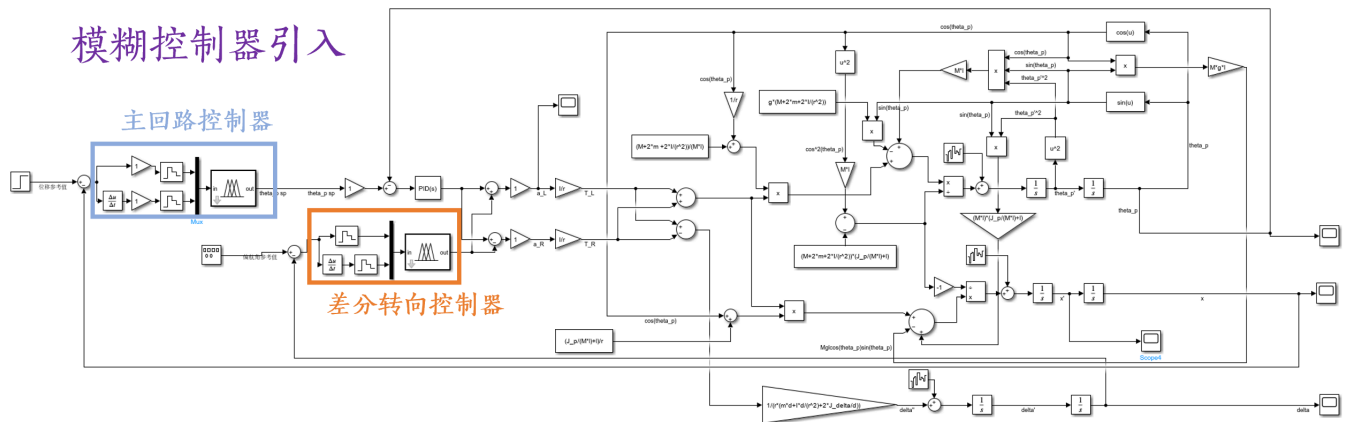


Table 4: 控制曲面

## Simulink Model

### Simulink



## Result

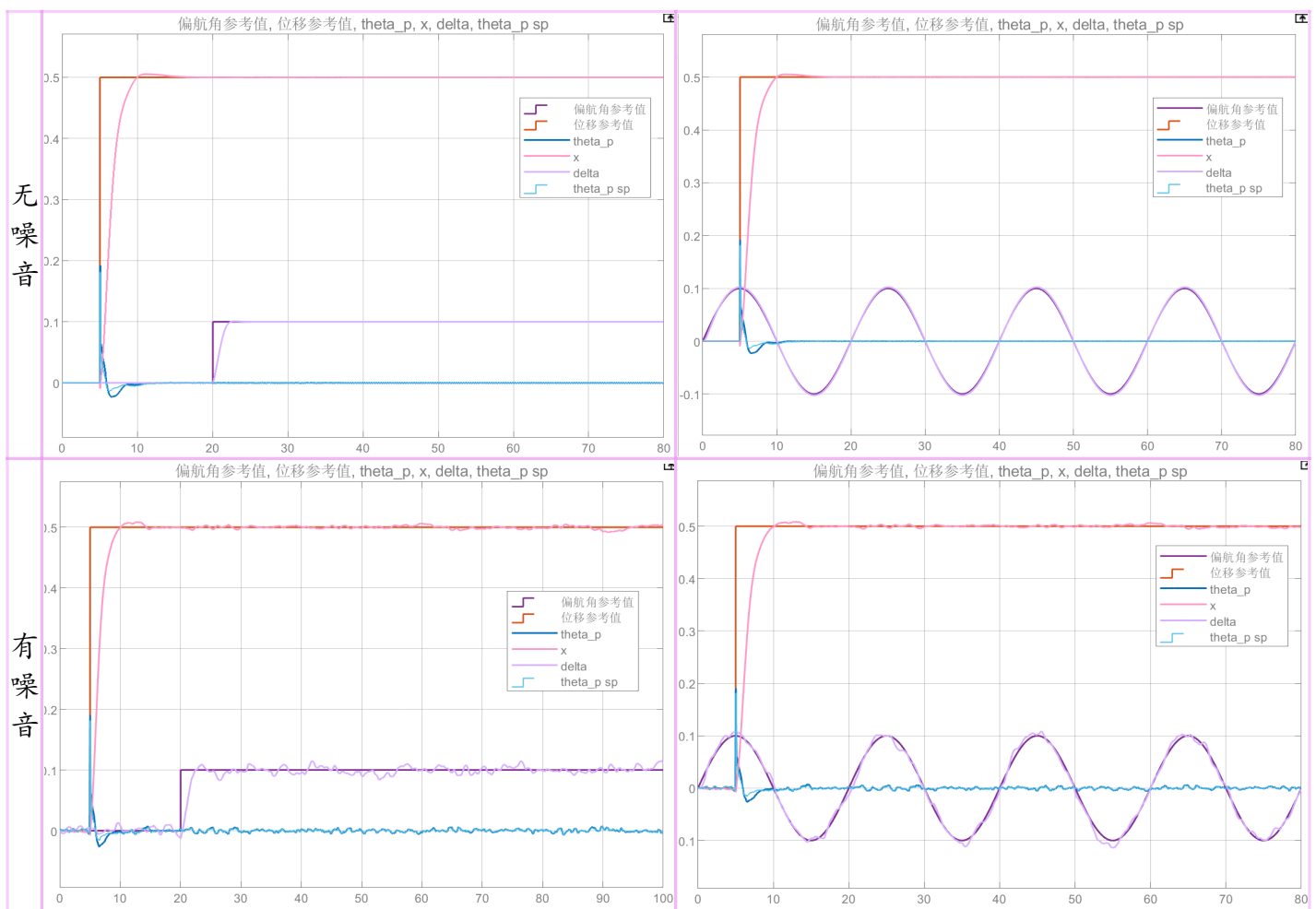


Table 5: 模糊控制效果

仍然使用之前 PID 的那几个输入波形，尝试跟踪，发现明显效果好于普通 PID，追踪十分平滑，没有振荡。

## 加入神经网络控制

### 神经网络 引入原因

尽管模糊控制取得了很好的效果，但是由于副回路还是用了 PID 控制器（积分项的作用难以用模糊控制器代替），因此还是有缺陷：**当模型参数发生变化，或者数据不准确时，有可能失控**，而果将副回路的控制器设计为神经网络 PID 控制器，让它自己找到合适的 P、I、D 参数，那么即使参数发生较大的变化，也能够取得良好的控制效果。

在我的架构里，主控制器是负责“上层指挥”，即根据  $x$  的测量值决定  $\theta_p$  的设定值，因此模型参数发生变化，主回路控制器也并不需要调整。但是，具体  $\theta_p$  怎么达到其设定值，是副回路的工作，因此副回路控制器才是与实际参数相关的，这就是把副回路的控制器用神经网络 PID 代替的理由。

总之，使用神经网络 PID **并不是因为它效果好**（普通 PID 只要参数设置正确，效果和神经网络 PID 当然差不多！）而是因为它能够**自己去找合适的三个参数**，因此带来巨大的便捷，非常 robust，模型**参数大幅度变化**，仍然能控制。

### 神经网络框架

下面，写了一个三层的 BP 神经网络，输出为 P、I、D 三个参数：

输入为  $(e(k) \ e(k-1) \ e(k-2) \ e(k-3))^T$ ，首先乘一个上权重矩阵  $W$ ，得到  $\overrightarrow{net}$ ：

$$\begin{pmatrix} w_{11} & w_{12} & w_{13} & w_{14} \\ w_{21} & w_{22} & w_{23} & w_{24} \\ w_{31} & w_{32} & w_{33} & w_{34} \end{pmatrix} \begin{pmatrix} e(k) \\ e(k-1) \\ e(k-2) \\ e(k-3) \end{pmatrix} = \begin{pmatrix} \text{net1} \\ \text{net2} \\ \text{net3} \end{pmatrix} = \overrightarrow{net}$$

接着经过 sigmoid 函数激活： $\sigma(\overrightarrow{net}) = \overrightarrow{hidden\_output}$

$\overrightarrow{hidden\_output}$  作为下一层（输出层）的输入，输出层首先用权重矩阵  $K$  与之相乘：

$$\begin{pmatrix} k_{11} & k_{12} & k_{13} \\ k_{21} & k_{22} & k_{23} \\ k_{31} & k_{32} & k_{33} \end{pmatrix} \begin{pmatrix} \text{hidden\_output1} \\ \text{hidden\_output2} \\ \text{hidden\_output3} \end{pmatrix} = \begin{pmatrix} \text{sum1} \\ \text{sum2} \\ \text{sum3} \end{pmatrix}$$

最后激活一下，作为**归一化**后的  $P, I, D$  三个参数的输出：

$$\begin{pmatrix} P \\ I \\ D \end{pmatrix} = \begin{pmatrix} \sigma(\text{sum1}) \\ \sigma(\text{sum2}) \\ \sigma(\text{sum3}) \end{pmatrix}$$

最后分别乘上  $K_p, K_i, K_d$  作为最终的三个参数，输出给 varying PID 模块。

### 数学分析

下面推导反向传播公式，将系统抽象为  $u \rightarrow \text{system} \rightarrow y$ ，而  $u$  是根据 PID 规则给出的，而 PID 参数又是网络给出的，因此可以根据系统的输出  $y$  来反向传播，更新网络参数。首先取 loss 函数为  $J = \frac{1}{2}e^2 = \frac{1}{2}(r - y)^2$ ，因此

$$\frac{\partial J}{\partial y} = e(k)$$

由于系统动力学模型未知（这也是智能控制的假设），可以用符号函数代替输入输出之间的偏导关系（这一项需要把观测到的两个时刻的 $y$ 以及 $u$ 都收集起来才能算）：

$$\frac{\partial y}{\partial u} \approx \text{sgn}\left(\frac{y(k) - y(k-1)}{u(k) - u(k-1)}\right) = \text{sgn}((y(k) - y(k-1)) \times (u(k) - u(k-1)))$$

接下来计算输入 $u$ 与三个参数的关系（回想增量式PID即得）：

$$\begin{aligned}\frac{\partial u}{\partial P} &= K_p(e(k) - e(k-1)) \\ \frac{\partial u}{\partial I} &= K_i e(k) \\ \frac{\partial u}{\partial D} &= K_d(e(k) + e(k-2) - 2e(k-1))\end{aligned}$$

再根据 sigmoid 函数的导数，即得：

$$\begin{aligned}\frac{\partial P}{\partial \text{sum1}} &= P(1 - P) \\ \frac{\partial I}{\partial \text{sum2}} &= I(1 - I) \\ \frac{\partial D}{\partial \text{sum3}} &= D(1 - D)\end{aligned}$$

而剩下的就是常规的神经网络反向传播，

$$\frac{\partial \text{sum}i}{\partial k_{ij}} = \sigma(\text{net}_j) \quad i = 1, 2, 3$$

最后，对于输出层的更新为：

$$\begin{aligned}\frac{\partial J}{\partial k_{1j}} &= \frac{\partial J}{\partial y} \frac{\partial y}{\partial u} \frac{\partial u}{\partial P} \frac{\partial P}{\partial \text{sum1}} \frac{\partial \text{sum1}}{\partial k_{1j}} \\ \frac{\partial J}{\partial k_{2j}} &= \frac{\partial J}{\partial y} \frac{\partial y}{\partial u} \frac{\partial u}{\partial I} \frac{\partial I}{\partial \text{sum2}} \frac{\partial \text{sum2}}{\partial k_{2j}} \\ \frac{\partial J}{\partial k_{3j}} &= \frac{\partial J}{\partial y} \frac{\partial y}{\partial u} \frac{\partial u}{\partial D} \frac{\partial D}{\partial \text{sum3}} \frac{\partial \text{sum3}}{\partial k_{3j}}\end{aligned}$$

对于隐藏层更加复杂，为：

$$\begin{aligned}\frac{\partial J}{\partial w_{ij}} &= \frac{\partial J}{\partial y} \frac{\partial y}{\partial u} \left( \frac{\partial u}{\partial P} \frac{\partial P}{\partial \text{sum1}} \frac{\partial \text{sum1}}{\partial \text{hid\_output}i} + \frac{\partial u}{\partial I} \frac{\partial I}{\partial \text{sum2}} \frac{\partial \text{sum2}}{\partial \text{hid\_output}i} + \frac{\partial u}{\partial D} \frac{\partial D}{\partial \text{sum3}} \frac{\partial \text{sum3}}{\partial \text{hid\_output}i} \right) \times \\ &\quad \frac{\partial \text{hid\_output}i}{\partial \text{net}i} \frac{\partial \text{net}i}{\partial w_{ij}}\end{aligned}$$

其中， $\frac{\partial \text{sum}i}{\partial \text{hid\_output}i}$ 显然就是 $K$ 矩阵中的元素； $\frac{\partial \text{hid\_output}i}{\partial \text{net}i}$ 这一项就是 sigmoid 求导，即  $\text{hid\_output}i(1 - \text{hid\_output}i)$ ； $\frac{\partial \text{net}i}{\partial w_{ij}}$ 这一项即 $e(k - j + 1)$ ，至此，反向传播的每一项都清楚了，最后更新的结果即为：

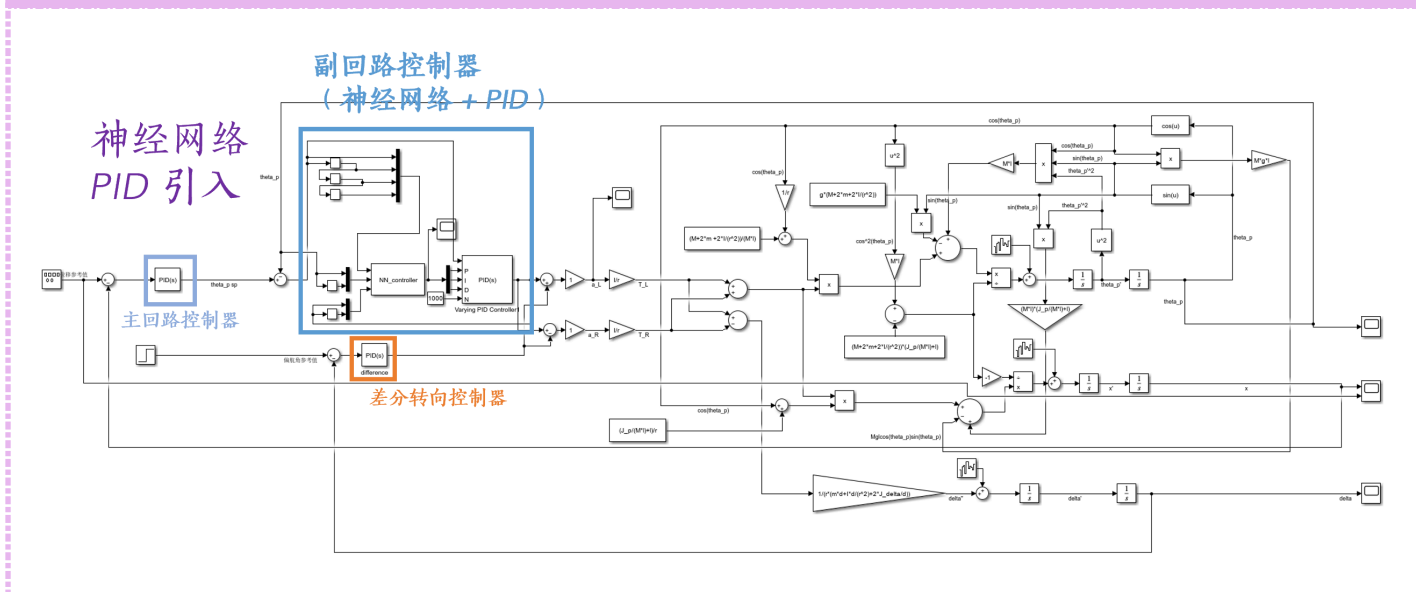
$$w_{ij} \leftarrow w_{ij} - \alpha \frac{\partial J}{\partial w_{ij}} \quad k_{ij} \leftarrow k_{ij} - \alpha \frac{\partial J}{\partial k_{ij}}$$

沿袭以上记号，具体代码在文件 NN\_controller.m 中，用 S-function 实现。

### Simulink Model

（以下内容在 balance\_car\_with\_NN.slx 文件）副回路控制器改用这个神经网络 PID 控制器，而主回路控制器和差分转向控制器仍然用普通 PID。

#### Simulink



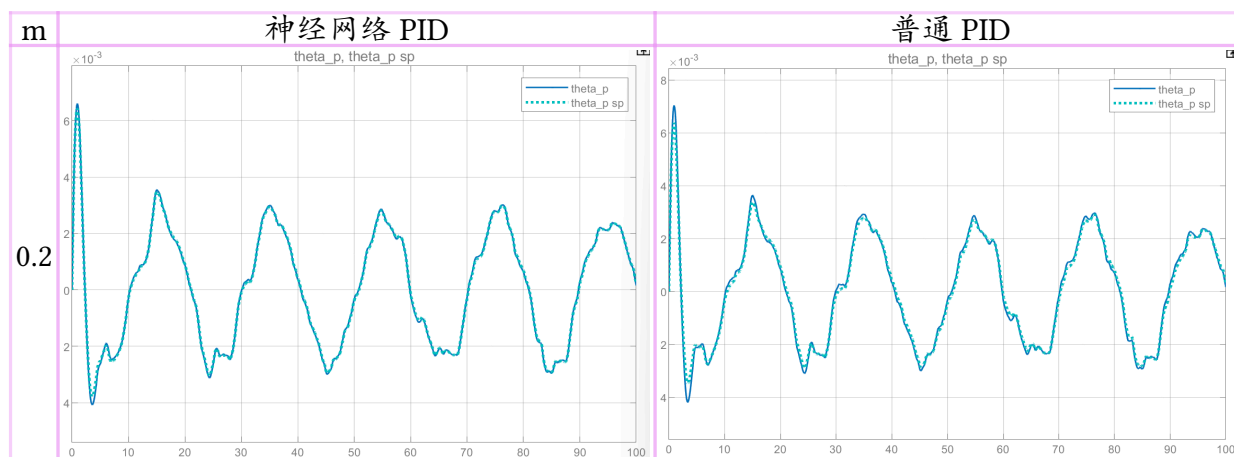
以下为副回路控制器用“神经网络 PID”和“普通 PID”效果的对比，运行 new\_param.m 文件后，更改其中的  $m$  参数，即质量发生变化后，看看哪个控制器更 robust。位移  $x$  的参考信号是正弦函数。

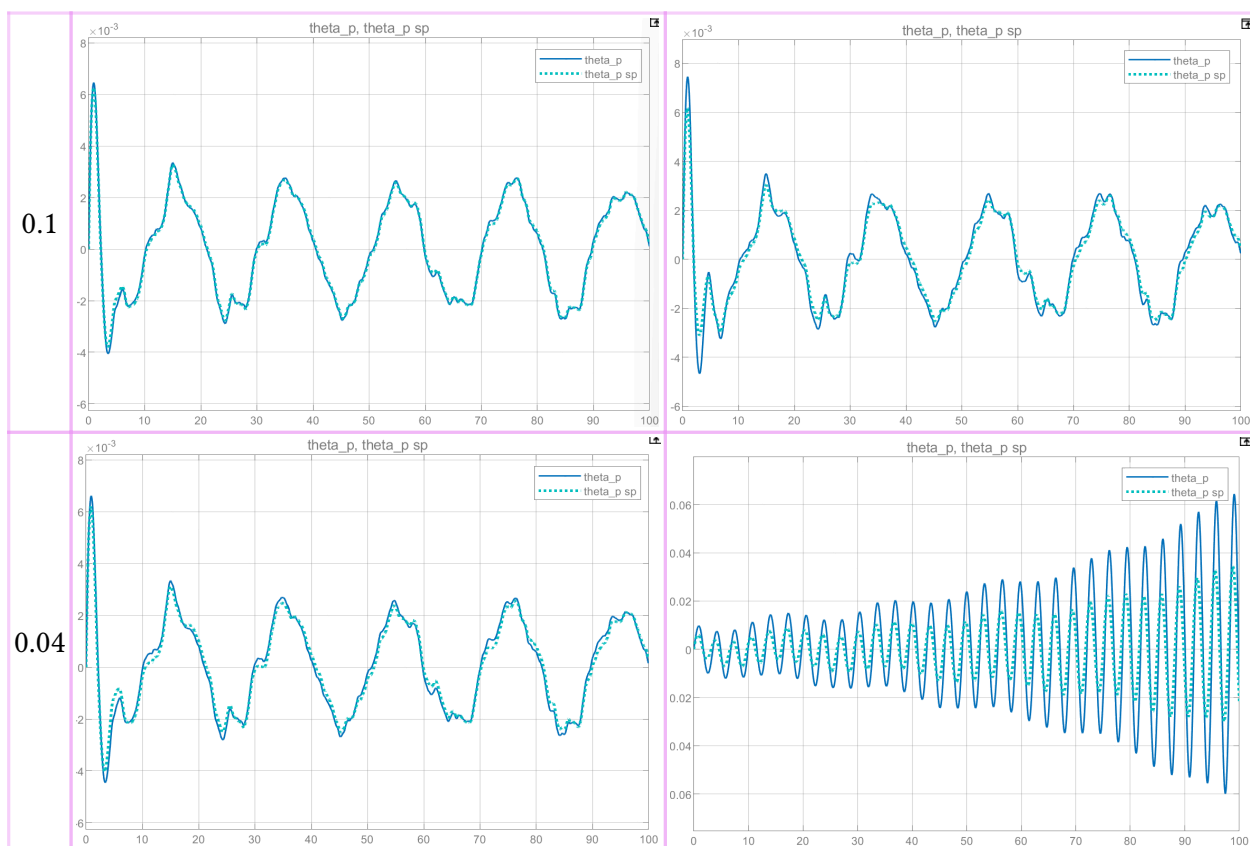
以下为  $\theta_p$  与其设定值的对比，在各个情况中，神经网络 PID 效果都很好，而普通 PID 随着参数  $m$  的变小，效果越来越差：

$m \Rightarrow$  变化 %% 以下曲线使用参数如下

$r = 0.07/2$ ;  $I = 0.5 * m * r^2$ ;  $M = 0.757 - 2 * m$ ;  $l = 0.5 * 0.8$ ;

$J_p = (1/12) * M * (0.3^2 + 0.08^2)$ ;  $d = 0.1612$ ;  $J_{\Delta} = (1/12) * M * (0.0930^2 + 0.0530^2)$ ;





在 $m$ 参数值不同的时候，可以在 scope 中观察神经网络输出向量，发现 P/I/D 在 $m$ 不同时确实会自动变的不同。（可以点开 balance\_car\_with\_NN.slx 文件中的 scope，看神经网络输出的那个向量值）

仔细观察 $m = 0.04$ 的情况如下，普通 PID 控不住 $\theta_p$ ，导致了 $x$ 也发生灾难性的发散。

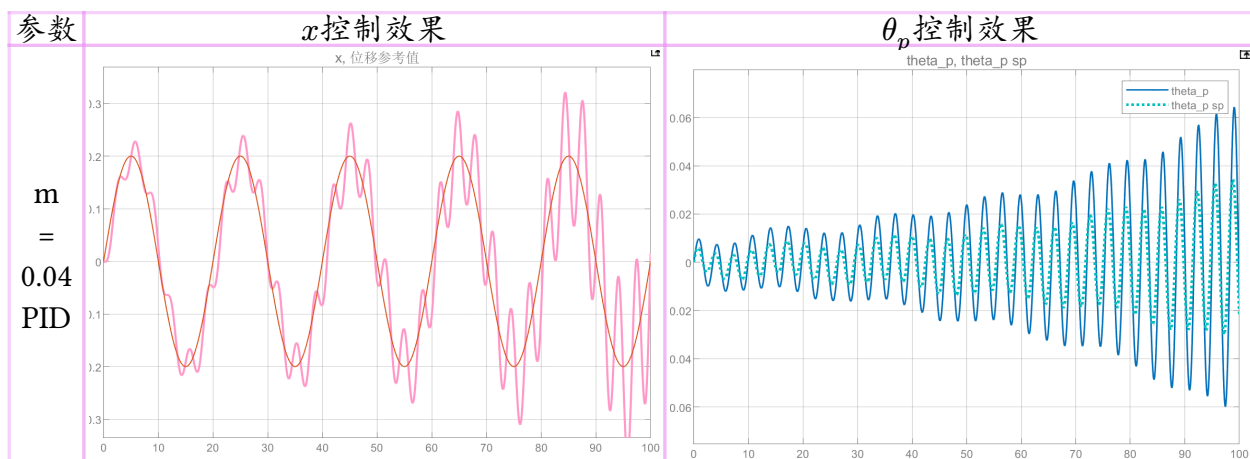
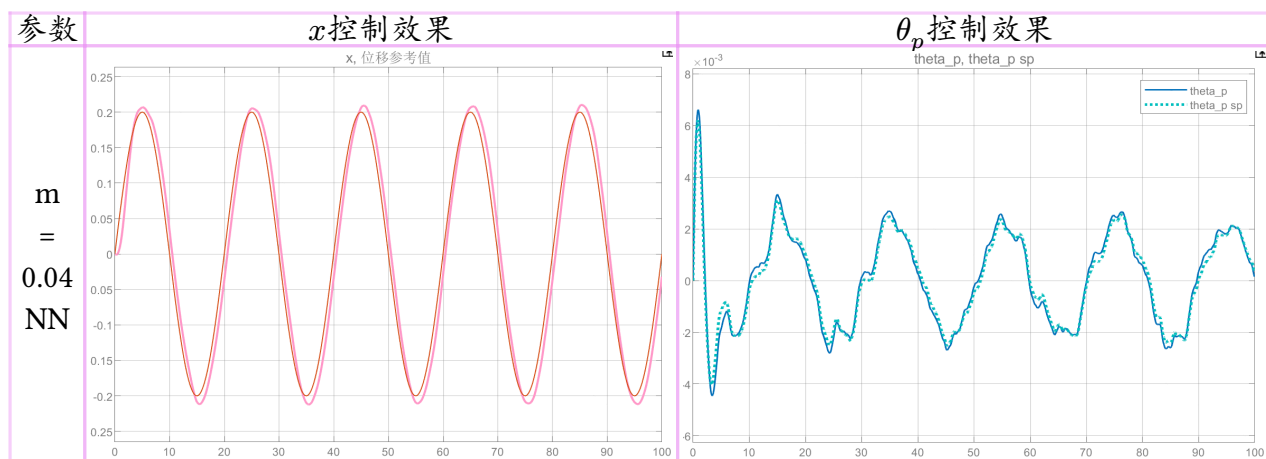


Table 8:  $m=0.04$  时的普通 PID 控制效果

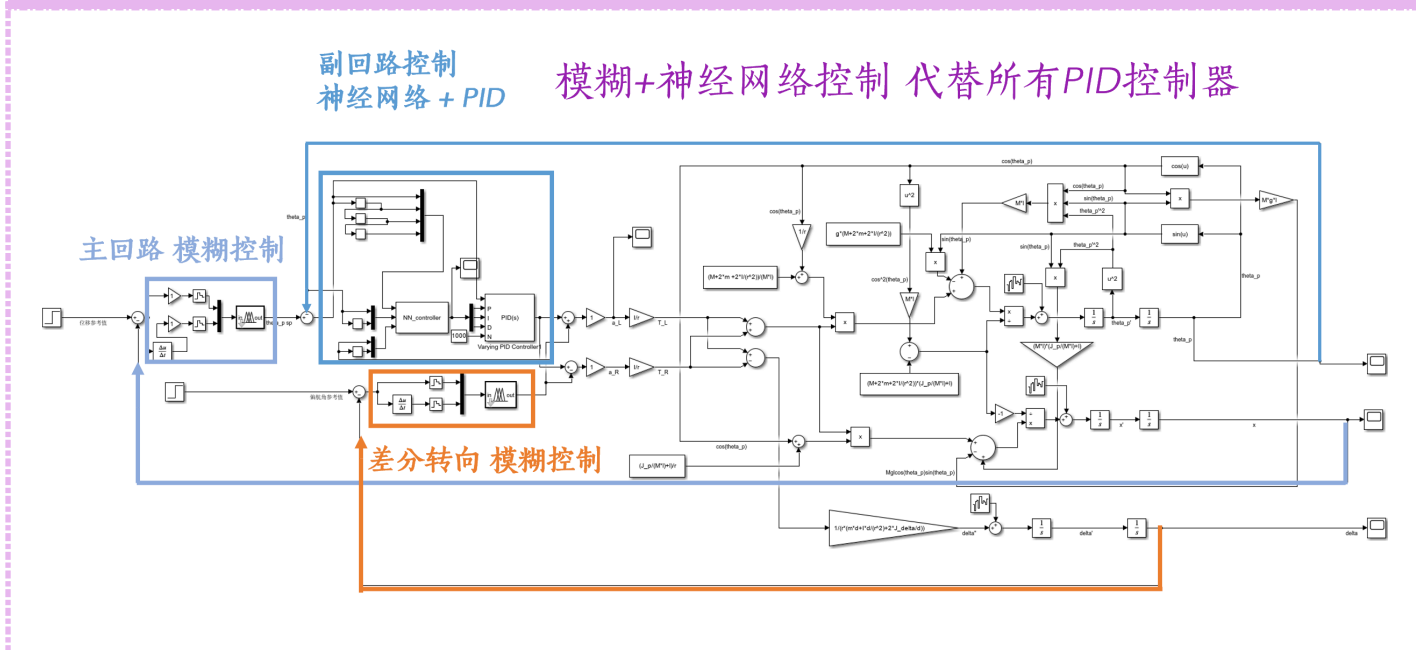
但是神经网络 PID 却仍然可行。对比说明神经网络 PID 的确可以适应模型参数的变化：

Table 9:  $m=0.04$  时的神经网络 PID 控制效果

### 神经网络 PID 与模糊控制 综合

(以下内容在 balance\_with\_fuzzy\_and\_NN.slx 文件中) 模糊控制能够平滑实现  $x$  的跟踪 (输出比 PID 更优的  $\theta_p$ ), 而神经网络 PID 则对参数的变化有更强的适应性, 结合两者, 得到最终的控制结构, 至此, 已经将所有的普通 PID 都替换掉了!

#### Simulink



这个方案的优势在于, 能够实现平滑阶跃跟踪, 而且对于模型参数的变化 robust, 下面是实验, 接连改动 param.m 文件中的质量  $m$  以及  $l$  两个参数, 两个参数都变化较大的倍数, 看看是否仍然能控制 (在控制过程中在是哪个变量  $\ddot{x}, \delta, \ddot{\theta}_p$  处都叠加加上白噪音, 模拟真实情况)。

%% 以下曲线使用参数如下

$m \Rightarrow$  变动;  $l \Rightarrow$  变动;

$r = 0.0672/2$ ;  $I = 0.5*m*r^2$ ;

$M = 0.757-2*m$ ;  $J_p = (1/12)*M*(0.0903^2+0.0530^2)$ ;

$d = 0.1612$ ;  $J_{\delta} = (1/12)*M*(0.0930^2+0.0530^2)$ ;



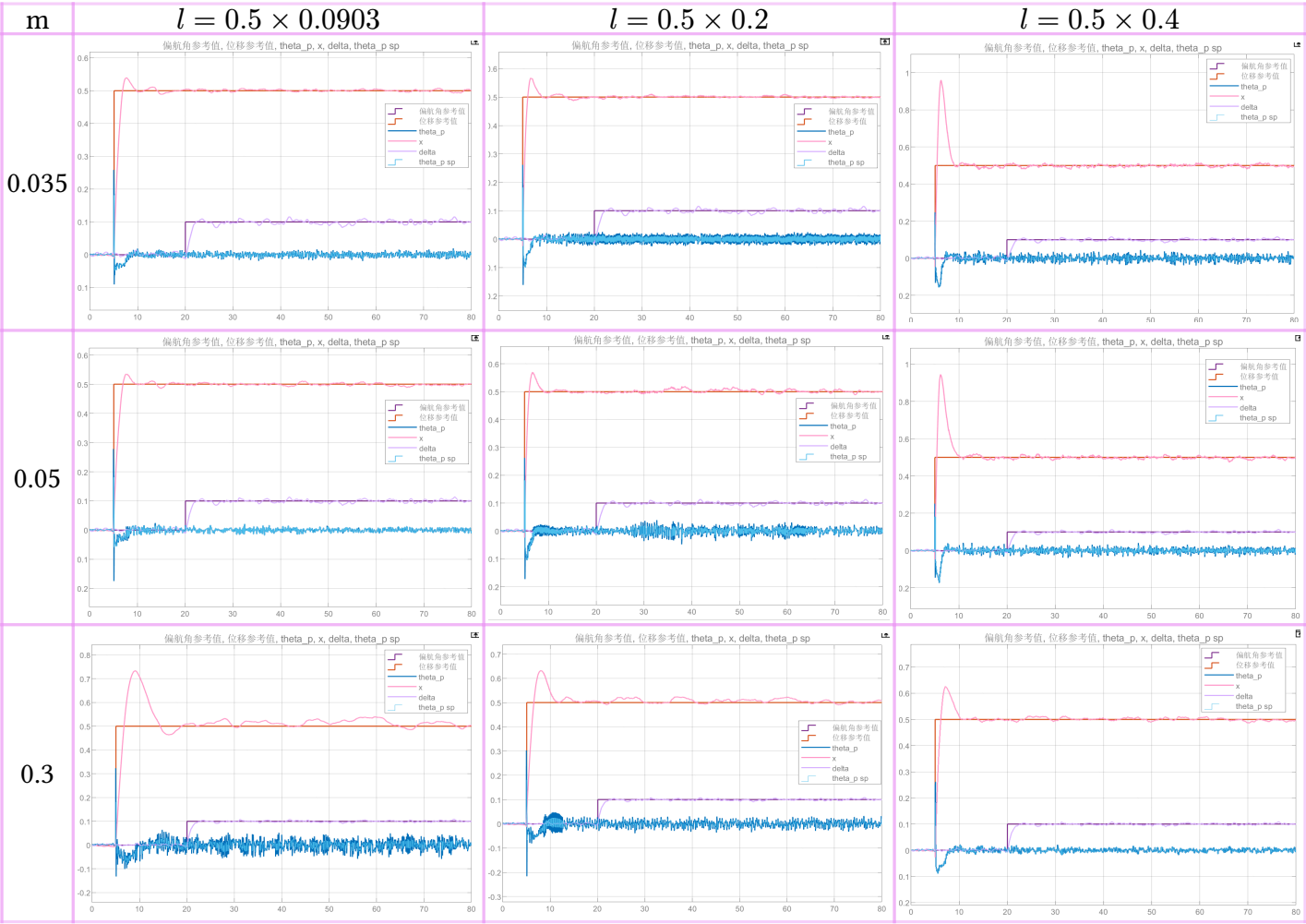


Figure 8: 模糊+神经网络 PID，参数大幅度变动也能控制

可见上图中，当 $m$ 参数变化 8 倍以上，而 $l$ 参数变化 4 倍以上时，仍然能够控制，并不需要重新修改任何控制器参数，这体现出神经网络 PID 的优越性。

与普通 PID 对比

可以使用 balance\_car.slx 中的普通 PID 控制进行对照，在这两个参数变动时控制失败：

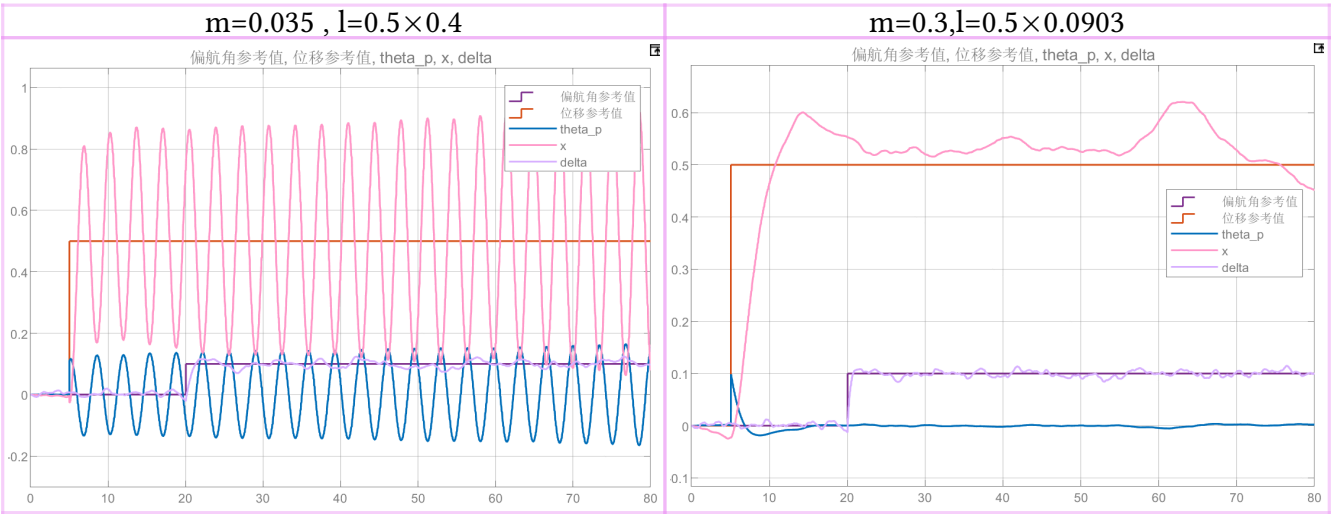


Table 10: 普通 PID，参数变动时控制失败

## 与仅用模糊控制对比

神经网络 PID+模糊控制器，与仅仅添加了模糊控制的模型对比，也是具有优越性：运行 new\_param.m 后，运行 balance\_car\_with\_fuzzy\_logic.slx 文件，运行效果十分振荡，而运行 balance\_with\_fuzzy\_and\_NN.slx 中的神经网络 PID+模糊的控制效果仍然不错：

%% 以下曲线使用参数如下

```
m = 0.022; r = 0.07/2; I = 0.5*m*r^2; M = 0.757-2*m; l = 0.5*0.8; J_p = (1/12)*M*(0.3^2+0.08^2); d = 0.1612; J_delta = (1/12)*M*(0.0930^2+0.0530^2);
```

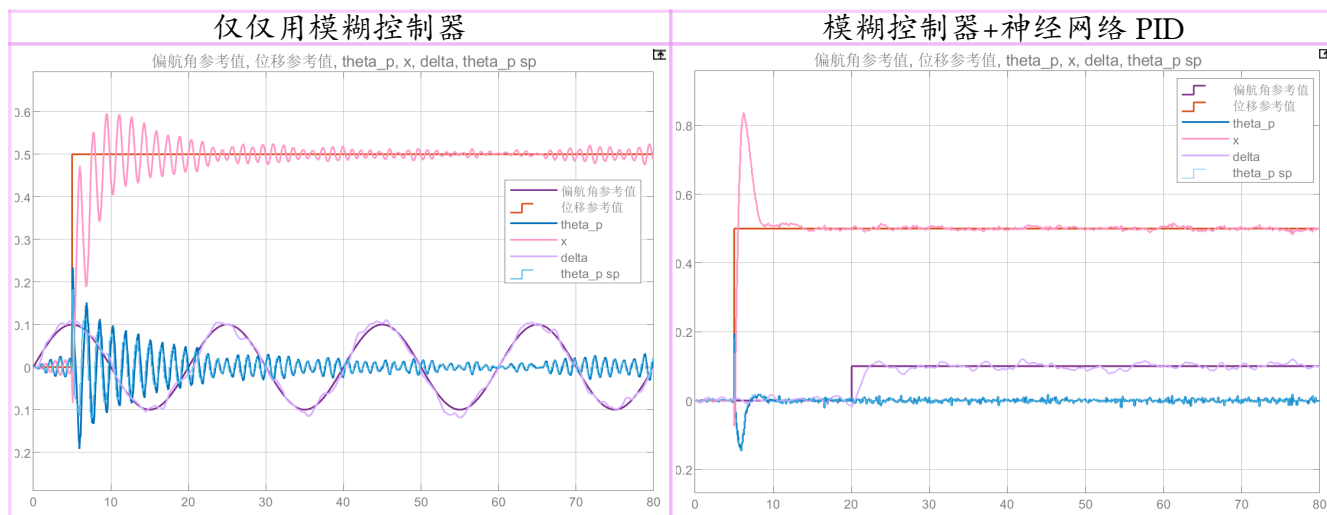


Table 11: 仅用模糊控制，参数变动时控制失败

## 总结

本项目的对象是平衡车，2 输入 3 输出，首先借鉴了串级控制的思路搭建控制框架，然后用普通 PID 进行初步控制，效果作为 baseline。

引入模糊控制改进控制效果，使得跟踪更加平滑，效果明显优于 baseline。但是，模型参数变动后，仍然需要重新调参（因为副回路的普通 PID 控制器仍然依赖于模型参数信息），因此使用神经网络 PID 弥补这一点，使得控制更 robust。

对比“神经网络 PID 搭配两个普通 PID”与“三个普通 PID”之间的差异，发现在原参数下，两者效果接近（因为原本 PID 已经调到较优秀的参数了），但是当模型参数变动后，普通 PID 就失控了，然而神经网络 PID 仍然有较好的控制效果。

最终，将两个模糊控制器与一个神经网络 PID 一道放入回路，完全取代了原本的 PID，控制效果与 robustness 均优于普通 PID。又和之前仅用模糊控制的方法对比，发现该最终方案更 robust。

## 代码附件与运行说明

> 使用的 Matlab 版本为 2023b

附件含有：

> balance\_car.slx 仿真模型，使用三个普通 PID 控制

> balance\_car\_with\_fuzzy\_logic.slx 仿真模型，使用两个模糊控制器+一个普通 PID 控制

> balance\_car\_with\_NN.slx 仿真模型，使用一个神经网络 PID 控制器+两个普通 PID 控制

> balance\_with\_fuzzy\_and\_NN.slx 最终仿真模型，使用两个模糊控制器+一个神经网络 PID 控制

- > parameter.m 模型参数（来源于真实数据）
- > new\_parameter.m 人为改动后的参数（为了测试 robustness）
- > fuzzy\_controller.fis 主回路模糊控制器
- > fuzzy\_delta.fis 差分转向模糊控制器
- > NN\_controller.m 神经网络 PID 的 level2 S-function 文件

测试时，请先运行 parameter.m 文件或者 new\_parameter.m 文件（使得 workspace 中有参数的数据）然后即可运行 slx 文件。

## 参考资料

模型来自该处提供的实物数据：<https://pan.baidu.com/e/1iglu6VU-7f1i702oJFCTrQ>（但该资料的模型是线性化后的，我的项目中特意没有线性化，使用了精确的非线性方程）

如有疑问，请访问 [https://github.com/Maythics/Control\\_simulink.git](https://github.com/Maythics/Control_simulink.git)